

Вестник Московского университета

НАУЧНЫЙ ЖУРНАЛ

Основан в ноябре 1946 г.

Серия 4 ГЕОЛОГИЯ

№ 6 • 2014 • НОЯБРЬ — ДЕКАБРЬ

Издательство Московского университета

Выходит один раз в два месяца

СОДЕРЖАНИЕ

- Булычев А.А., Гилод Д.А., Дубинин Е.П. Совместный анализ гравитационного и аномального магнитного полей для изучения строения тектоносферы южной части Индийского океана 3
- Промysłова М.Ю., Демина Л.И., Бычков А.Ю., Гущин А.И., Царев В.В. Природа магматизма района мыса Фиолент (Юго-Западный Крым) 14
- Хлебникова О.А., Никишин А.М., Митюков А.В., Рубцова Е.В., Фокин П.А., Копаевич Л.Ф., Запорожец Н.И. Состав песчаников из турбидитовых олигоценовых отложений Туапсинского краевого прогиба 23
- Габдуллин Р.Р., Самарин Е.Н., Иванов А.В., Бадулина Н.В., Афонин М.А. Литолого-геохимическая характеристика условий осадконакопления в Крымско-Кавказском трое в раннеюрско-ааленское время (на примере Качинского поднятия и Краснополянской зоны) 34
- Барбошкин Е.Ю., Барбошкин Е.Е. Строение и условия образования альбского каменного дна в районе с. Черноречье (Юго-Западный Крым) 51
- Копаевич Л.Ф., Хотылев А.О. Стратиграфическое положение меловых вулканитов в Крыму и на Северном Кавказе 59
- Шишов Е.П., Богомолов А.Х. Многоэлементная металлоносность Корфского и Эчваямского буроугольных месторождений (Камчатка) 70
- Гатовский Ю.А., Жокина М.А. Онтогенз некоторых поздневизейских конодонтов разреза Верхняя Кардаилловка (Южный Урал) 76

Краткие сообщения

- Фролова Н.С., Спиридонов А.В., Перес Х. Гуал, Перепечина О.В. Подводно-оползневая складчатость в таврической серии (Горный Крым) 82

Юбилей

- Клара Ефимовна Питьева (к 90-летию со дня рождения) 86

- Указатель статей и материалов, опубликованных в журнале в 2014 г.* 88

CONTENTS

Bulychev A.A., Gilod D.A., Dubinin E.P. Joint analysis of anomalous gravitational and magnetic fields for study the structure of tectonosphere southern Indian ocean	3
Promyslova M.Yu., Demina L.I., Bychkov A.Yu., Gushchin A.I., Tsharev V.V. The nature of magmatism in Cape Fiolent Area (South-West Crimea)	14
Khlebnikova O.A., Nikishin A.M., Mityukov A.V., Rubtsova E.V., Fokin P.A., Kopaevich L.F., Zaporozhets N.I. Oligocene turbidite sandstones composition of Tuapse through	23
Gabdullin R.R., Samarin E.N., Ivanov A.V., Badulina N.V., Afonin M.A. Lithological-geochemical characteristics of sedimentational environment Within Crimean-Caucasian trough for the early Jurassic and Aalenian time (at the example of Kacha Rise and Krasnay Polyana zone)	34
Baraboshkin E.Yu., Baraboshkin E.E. The structure and origin of Albian rockground in Chernorechye Village region (South-Western Crimea)	51
Kopaevich L.F., Khotylev A.O. Stratigraphic position of Cretaceous volcanic rocks in Crimea and North Caucasus	59
Shishov E.P., Bogomolov A.H. Integrated metal content of Korf and Echvayam brown-coal deposits of Kamchatka	70
Gatovsky Yu.A., Zhokina M.A. Ontogenetic changes of the some upper Viséan conodonts of the section Verkhnyaya Kardailovka (South Urals)	76
<i>Brief communications</i>	
Frolova N.S., Spiridonov A.V., Pérez J. Gual, Perepechina O.V. Folds related to slump deformation in tauric group (The Crimea Mountains)	82
<i>Jubilee</i>	
To the 90 th birthday of Klara Efimovna Pitieva	86
<i>Index of articles and materials published in journal in 2014 year</i>	88

УДК 552.143+551.762.2(477.75.+470.6)

Р.Р. Габдуллин¹, Е.Н. Самарин², А.В. Иванов³, Н.В. Бадулина⁴, М.А. Афонин⁵

ЛИТОЛОГО-ГЕОХИМИЧЕСКАЯ ХАРАКТЕРИСТИКА УСЛОВИЙ ОСАДКОНАКОПЛЕНИЯ В КРЫМСКО-КАВКАЗСКОМ ТРОГЕ В РАННЕЮРСКО-ААЛЕНСКОЕ ВРЕМЯ (на примере Качинского поднятия и Краснополянской зоны)⁶

Впервые литологическими и геохимическими методами проведено сравнение условий седиментации в крымской и кавказской частях Крымско-Кавказского трога в раннеюрско-ааленское время. Предложены модели вариаций температуры, солености и глубины в троге для раннеюрско-ааленского времени

Ключевые слова: юрский период, турбидиты, геохимия, палеогеография, глубина, соленость, температура, Крым, Кавказ.

The comparison of paleogeographic conditions in Early Jurassic and Aalenian of Crimean and Caucasian parts within the Crimean-Caucasian trough by lithological and geochemical methods was provided for the first time. Models explaining variations of temperature, salinity and bathymetry were proposed for the Early Jurassic and Aalenian time.

Key words: Jurassic, turbidites, geochemistry, paleogeography, bathymetry, salinity, temperature, Crimea, Caucasus.

Введение. Терригенные флишевые ниже-среднеюрские отложения Крымско-Кавказского трога сложно дислоцированы и визуально сложены однообразными циклически построенными породами, которые почти не содержат макрофауну и не всегда характеризуются микрофауной или микрофлорой, что сильно затрудняет их расчленение и сопоставление, поэтому их исследование представляется крайне актуальным. В процессе активного строительства объектов Олимпиады-2014 в долине р. Мзымта появилось множество временных обнажений, и изыскатели начали сталкиваться с характерными проблемами при расчленении и сопоставлении разрезов обнажений и скважин. Кроме того, наличие оползневых тел, иногда перекрывающихся, дополнительно усложняло работу по определению возраста толщ и их корреляции. При большом числе разрезов требовался экспресс-метод определения возраста, например микропалеонтологический. Однако некоторые датировки, полученные по наннопланктону, противоречили общепризнанным датировкам свит, возраст которых остается дискуссионным [Панов, 2003].

В качестве примера можно привести существовавшее до установки дорожных звукоизоляционных панелей и реконструкции дорожного полотна обнажение у въездного знака «Эстосадок» на правом берегу Мзымты (точка 457 в работе [Габдуллин, Иванов, 2013]) (рис. 1). Здесь в скальном утесе у старой автомобильной дороги Адлер—Альпика—Сервис были видны коренные выходы толщи песчаников. Определимые конодонты не выделены (А.С. Алексеев, МГУ). На геологических картах разных лет изданий этот участок относят то к триасу, то к нижней юре, хотя напротив этой точки на другом берегу р. Мзымта (точка 458) Е.А. Щербиной (ГИН РАН) из битуминозных аргиллитов был определен комплекс нанопланктона синемюр-плинсабахского возраста — *Mitrolithus elegans* и *Srepidolithus granulates* [Габдуллин, Иванов, 2013]. Кроме того, в разрезах Северо-Западного Кавказа в позднем аалене фиксируется массовое вымирание моллюсков и фораминифер, что связано с палеогеографическими перестройками и возникновением в раннем аалене областей морских вод с дефицитом растворенного кислорода [Ruban, Tyszka, 2005; Ruban, 2012] в условиях регрессии (рис. 2).

¹ Московский государственный университет имени М.В. Ломоносова, геологический факультет, кафедра региональной геологии и истории Земли, доцент; *e-mail:* mosgorsun@rambler.ru

² Московский государственный университет имени М.В. Ломоносова, геологический факультет, кафедра инженерной и экологической геологии, доцент; *e-mail:* samarin@mail.ru

³ Саратовский государственный технический университет, факультет экологии и сервиса, лаборатория инженерной геоэкологии, декан, доцент; *e-mail:* yashkovia@mail.ru

⁴ Московский государственный университет имени М.В. Ломоносова, геологический факультет, кафедра динамической геологии, науч. с.; *e-mail:* nvbadulina@mail.ru

⁵ Московский государственный университет имени М.В. Ломоносова, геологический факультет, кафедра региональной геологии и истории Земли, студент; *e-mail:* mihail282@gmail.com

⁶ Работа поддержана Министерством образования и науки (гранты СГТУ-141 и СГТУ-14); Программой стратегического развития СГТУ имени Ю.А. Гагарина на 2012–2016 годы (тема 2.1.6. «Развитие учебно-научной лаборатории инженерной геоэкологии»), а также РФФИ (проекты 14-05-31171, 14-05-31538 мол_а).

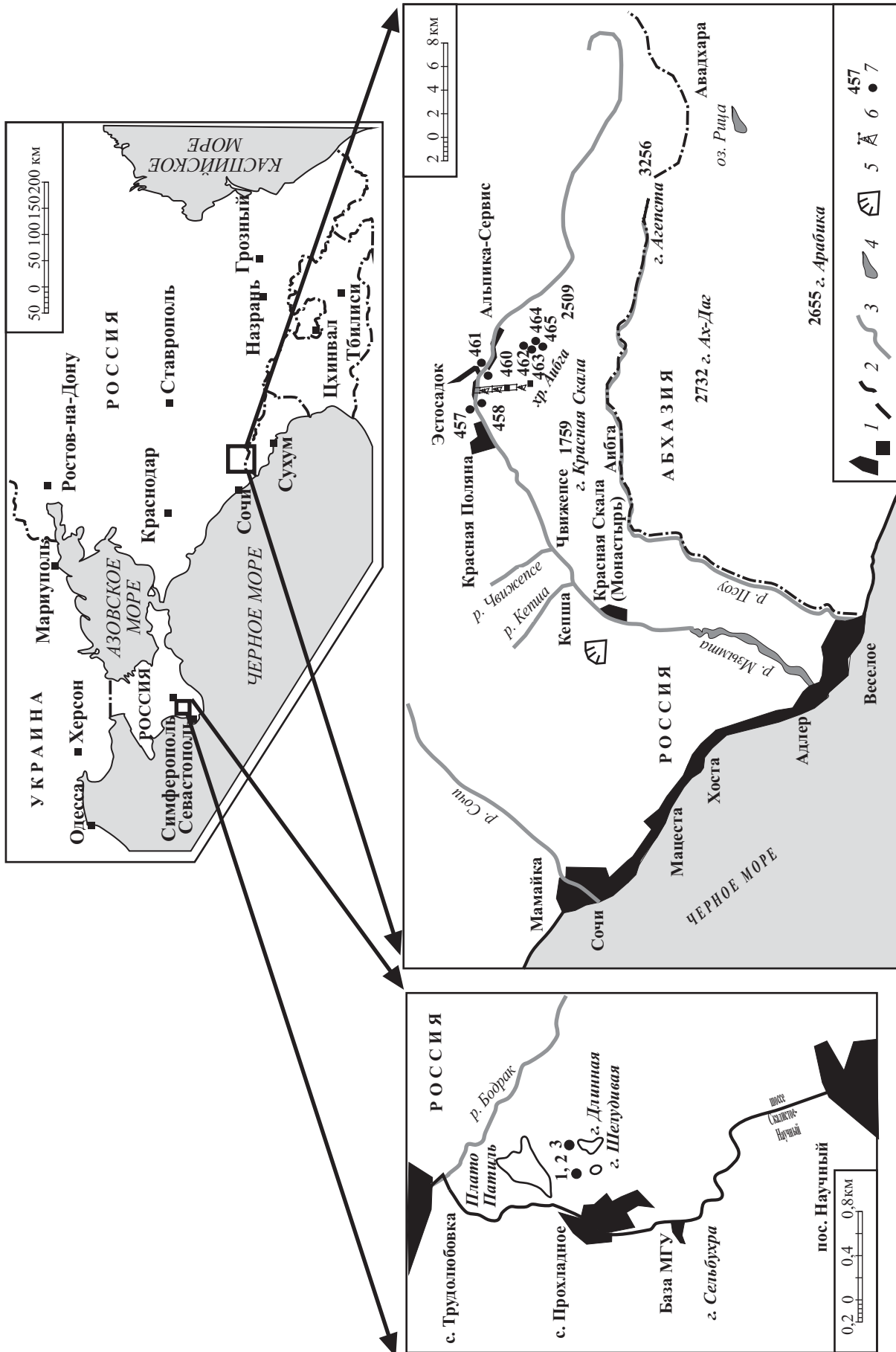


Рис. 1. Схематическая карта расположения изученных точек: 1 — границы населенных пунктов, 2 — государственные границы, 3 — реки, 4 — озера, 5 — карьер, 6 — линия подвесной канатной дороги «Горная Карусель», 7 — точки наблюдения и их номера

Именно поэтому коллектив авторов впервые принял попытку геохимического изучения этих отложений Крыма и Кавказа, так как этим методом можно сравнительно быстро получить результаты и, кроме того, помимо геохимической корреляции, уточнить палеогеографические условия седиментации.

Представленные в статье результаты будут, на наш взгляд, представлять практический и научно-образовательный интерес для геологических практик студентов МГУ имени М.В. Ломоносова, а также в свете будущего активного строительства и государственной геологической съемки в Крыму (ГДП-200).

Методика работ. На Кавказе (рис. 1) исследования проводили в районе Краснополянской зоны в долине р. Мзымта около железнодорожных станций Эсто-Садок и Красная Поляна. Точка 458 расположена восточнее станции хаба «Эсто-Садок», у северного портала 4-го туннеля. В районе подъемника нижней базы «Роза Хутор» исследованы разрезы на левом (точка 460) и правом (точка 461) берегах р. Мзымта. На автомобильной дороге, ведущей к сноуборд-парку, находятся точки 462–464. Точка 465 расположена в подрезке дороги над 6-м туннелем у ручья. В Крыму (рис. 1) изучали разрезы в ближайших окрестностях учебно-научной базы МГУ имени М.В. Ломоносова в с. Прохладное (Бахчисарайский район), локализованные в пределах Качинского поднятия. Точки 1 и 2 расположены в Мангушском овраге, в районе его слияния с оврагом Яман, а точка 3 — на водоразделе между горами Шелудивая и Длинная.

В статье рассмотрены терригенные флишевые отложения глубоководного Крымско-Кавказского трога. Из-за большой мощности свит и их дислоцированности авторы не описывали разрезы, а осуществляли привязку образцов к местным стратиграфическим подразделениям. Описаны фрагменты (интервалы) разрезов мощностью от нескольких метров до нескольких десятков метров. В качестве метода анализа циклично построенных флишевых толщ использован метод построения ритмограмм, облегчающий стратиграфическое позиционирование изучаемого фрагмента внутри разреза свиты. Макроскопическое описание пород дополнено их микроскопическим (исследовано 65 шлифов, в статье не рассматриваются) и геохимическим анализом.

Выполнен полный геохимический анализ элементов для 30 образцов обломочных терригенных горных пород на рентгено-флюоресцентном спектро-скане MARC.GV (НПО «Спектрон», Санкт-Петербург) на кафедре инженерной геологии геологического факультета МГУ имени М.В. Ломоносова (аналитик Е.Н. Самарин). Проанализировано 14 образцов, собранных из 7 разрезов нижне- и среднеюрских отложений Краснополянской зоны Большого Кавказа, а также 16 образцов, отобранных из 3 разрезов верхне-таврической серии Качинского поднятия (Горный Крым).

Затем подсчитаны соотношения и концентрация некоторых химических элементов, которые указывают на изменение условий осадконакопления (глубина бассейна, гидродинамика, климат и др.), что позволило уточнить сформулированные ранее представления о режиме седиментации.

Характеристика нижнеюрско-ааленских отложений Крымско-Кавказского трога. Отложения представлены терригенными, преимущественно песчано-глинистыми флишевыми толщами циклического строения. Их литолого-палеонтологическая характеристика, стратиграфическое и тектоническое положение и история изучения изложены в ряде работ [Афанасенков и др., 2007; Барабошкин, Дегтярев, 1988; Геология СССР, 1968, 1969; Густомесов, 1967; Королев, 1983; Логвиненко и др., 1961; Милеев и др., 1989; Муратов, 1959; Никишин и др., 1997, 2006; Панов, 1997, 2006, 2009; Панов и др., 2001; Панов, Пруцкий, 1983; Славин, 1958; Цейслер и др., 1999]. Схема корреляции стратиграфических шкал Крыма и Большого Кавказа для указанного интервала и положение отобранных образцов из изученных разрезов приведены на рис. 2.

Характеристика нижнеюрско-ааленских отложений Краснополянской зоны Западного Кавказа. В этом стратиграфическом интервале разреза выделяются анчхойская, илларионовская, чвежипсинская и эсто-садокская свиты краснополянской серии (рис. 2).

Этосадокская свита (J_{1es}, J_{1s-p_1}) имеет сходный возраст со сванетским горизонтом Южного склона Большого Кавказа, она описана в долине р. Мзымта у с. Эсто-Садок и сложена полосчатыми аргиллитами с пластами песчаников, гравелитов и линзами известняков, с базальным конгломератом в основании. Возраст свиты — синемюрско-раннеплинсбахский — определяется ее стратиграфическим положением и находкой аммонита *Arietites (Coroniceras) cf. bucklandi* Sow. [Панов, Пруцкий, 1983]. Мощность свиты ~650 м.

Восточнее станции хаба «Эсто-Садок», у северного портала 4-го туннеля (точка 458) наблюдаются коренные выходы толщи тонколистоватых черных малопрочных аргиллитов. Толща разлинзована и деформирована. Микроскопически (шлиф № 458/1) порода представляет собой аргиллит тонкодисперсный, полимиктовый, преимущественно гидрослюдистый с примесью (15–20%) неокатанного и полуокатанного мелко-тонкозернистого кварца и биотита, горизонтально-слоистый за счет микролинз органического вещества (30%), сидеритизированный (5%). Доля глинистого вещества составляет 50–45%. Среди вторичных изменений отмечены оксиды железа и пирит.

Южнее, у комплекса трамплинов К-95 и К-125 на левом берегу р. Мзымта, напротив железнодорожной станции и пересадочного хаба «Эсто-Садок» в ряде естественных обнажений наблюдаются выходы этосадокской свиты — пачки неравномерного ритмичного переслаивания тонкозернистых слюдистых (мусковит) кварцевых красновато-бурых на свежем и бурых на выветрелом сколе песчаников (30–50 см) и

аргиллитов (мощность слоев до 30–50 см, иногда несколько сантиметров), черных на свежем сколе и бурых на выветрелом, разлинзованных. Встречаются единичные прослои бурого алевролита. Азимут падения (АЗ ПД) 190°, угол падения (УП) 20° (залегание запрокинутое, по иероглифам).

На крутом повороте автомобильной дороги ниже сноуборд-парка, на правом борту безымянного селезного ручья в точке 463 (J_{1s-p_1} , эстосадокская свита) обнажаются аргиллиты графитового цвета (серо-черные), битуминозные, малопрочные и тонкослоистые в нарушенном залегании (оползень).

На крутом повороте автомобильной дороги ниже сноуборд-парка на левом борту безымянного селезного ручья (точка 464, J_{1s-p_1} , эстосадокская свита) наблюдаются коренные выходы битуминозных серо-черных аргиллитов, тонкочешуйчатых, очень малопрочных, рассыпающихся в руках и осыпаящихся от вибрации при движении автотранспорта по дороге, смятых в небольшую антиформную складку (оползень в нарушенном залегании, АЗ ПД 260°, УП 26°).

В подрезке дороги над 6-м туннелем у безымянного ручья (точка 465, J_{1s-p_1} , эстосадокская свита) находятся коренные выходы битуминозных аргиллитов, черных, тонкочешуйчатых и малопрочных (АЗ ПД 170°, УП 27°). Видимая мощность >10 м.

Чвежипсинская свита (J_{1cv} , $J_{1p_2}-J_{1t_1}$) выделяется в циклаурском горизонте на Южном склоне Большого Кавказа, представлена нерассланцованными, скорлуповатыми аргиллитами, алевролитами слюдыстыми, с линзами мергелей и известняков, с обилием обугленного растительного детрита.

Возраст свиты определяется ее стратиграфическим положением и находками аммонита *Amaltheus margaritatus* Montf. и белемнитов *Rhabdobelus exilis* Orb., *Coeloteuthis* sp. [Панов, Пруцкий, 1983]. Мощность свиты ~700 м.

Южнее северного портала 4-го туннеля, в районе комплекса трамплинов К-95 и К-125 наблюдаются коренные выходы чвежипсинской свиты, представленные аргиллитами нерассланцованными, часто слюдыстыми, темно-серыми или черными; как правило, они содержат большое количество обугленного растительного детрита, имеют пониженную прочность. Характерная особенность аргиллитов — пятнистость, обусловленная наличием субпараллельных черных выделений неправильно-линзовидной формы. Элементы залегания АЗ ПД 240°, УП 30–40°.

Илларионовская свита (J_{1il} , J_{1t_2}) представляет собой толщу чередования пакетов песчано-глинистых и алевроглинистых пород. Возраст свиты определяется по стратиграфическому положению [Панов, Пруцкий, 1983]. Мощность около 1600 м.

У подъемника нижней базы «Роза Хутор» на левом берегу р. Мзымта (точка 460) наблюдаются делювиально-пролювиальный конус и коренные выходы юрских пород. Толща разлинзована, деформирована. Элементы залегания АЗ ПД 200°, УП 65°, залегание

запрокинутое (по иероглифам). Разрез илларионовской свиты (J_{1t_2}) сверху вниз:

слой 1: рыже-бурые песчаники тонкозернистые, алевриты прочные, мощность >3 м;

слой 2: серо-зеленые песчаники мелкозернистые, мощность 2–2,5 м;

слой 3: зелено-серые песчаники железистые (на выветрелом сколе бурые), мелкозернистые, мощность 2,5 м;

слой 4: черные аргиллиты тонколистоватые, битуминозные, ожелезненные на выветрелом сколе, малопрочные, с прослоями алевритов серо-зеленых, черных малопрочных, мощность 6 м;

слой 5: тонколистоватые серо-зеленые песчаники, мелкозернистые, малопрочные, с органическим веществом, мощность 2,5 м;

слой 6: черные аргиллиты, разлинзованные, деформированные, малопрочные, мощность 0,6 м;

слой 7: переслаивание черных аргиллитов, разлинзованных, деформированных, малопрочных и серо-бурых песчаников, тонкозернистых, листоватых, малопрочных, мощность 4,5–5 м.

Затем следует необнаженный интервал разреза, переход на 30 м вверх по течению реки:

слой 8: черные аргиллиты разлинзованные, деформированные, средней прочности, с жилами кальцита (секущими и по слоистости), мощность неизвестна. Далее следует разлом;

слой 9: аналогичен слою 8, мощность неизвестна. Затем разлом и, видимо, граница с другой толщей;

слой 10: серые песчаники тонкозернистые, мощность неизвестна.

У подъемника нижней базы «Роза Хутор» на правом берегу р. Мзымта (точка 461) обнажены черные разлинзованные аргиллиты, аналогичные таковым в точке 460, АЗ ПД 355°, УП 25°.

Анчхойская свита (J_{2an} , J_{2a}), сложенная рассланцованными аргиллитами с редкими и маломощными прослоями пирокластических пород, выделена в районе перевала Анчхо в Горной Абхазии и прослеживается до бассейна р. Сочи. Возраст свиты определен как ааленский на основании находок *Leioceras bifidatum* Buckm. и *Ludwigia* sp. У перевала Анчхо ее мощность составляет 500–700 м, а в бассейне р. Чвежипсе — 1000 м [Панов, Пруцкий, 1983].

На повороте дороги в точке 462 наблюдались черные малопрочные битуминозные аргиллиты анчхойской свиты (АЗ ПД 120°, УП 55°).

Характеристика верхнеплинсбахско-ааленских отложений Качинского поднятия. Понятие «таврическая серия» охватывает мощный комплекс терригенных флишевых и флишоидных отложений поздне триасового и раннеюрского возраста, включающих локально развитые вулканогенные образования, горизонты известняковых глыб, пачки гравелитов и конгломератов.

Таврическая серия на территории Качинского поднятия объединяет следующие свиты (рис. 1, 2): нижнетаврическую (T_3tv_1 , T_3k-n), ченкскую (J_1cn ,

J_{1s-p}) и верхнетаврическую ($J_{1-2}tv_2$, $J_{1p_2}-J_{2a}$), разделяемую на пять толщ. Исследованы все 5 толщ верхнетаврической свиты, имеющих между собой согласные стратиграфические границы. Первые 3 толщи позднеплинсбахские, 4-я позднеплинсбахская—нижнетаврическая, а 5-я позднеаварско-ааленская. Возраст нижних 3 толщ (I, II, III) верхнетаврической свиты определяется их стратиграфическим положением.

Толща I — аргиллитовая ($J_{1-2}tv_2^I$) — сложена разнообразными черными оскольчатыми аргиллитами с многочисленными крупными конкрециями сидерита. Среди аргиллитов изредка прослеживаются прослойки более плотных алевролитов. В разных местах в аргиллитовой толще присутствуют пачки аргиллит-алевролитового, а иногда нормального (тонкозернистый песчаник—алевролит—аргиллит) тонкоритмичного флиша, но с резким преобладанием аргиллитов. Толща согласно налегает на отложения ченкской свиты. Мощность толщи достигает 500 м.

В составе глинистых минералов присутствуют (%) гидрослюда (44–53), смешанослойные минералы (8–18) при полном отсутствии хлорита, но обязательно присутствует каолинит (до 29).

Толща II, с «табачными» песчаниками ($J_{1-2}tv_2^{II}$) — однообразна на всей территории исследований и представляет собой песчаный флиш. Наиболее характерны для толщи крупные (мощность до нескольких метров) ритмы с мощным (до 1,5–2,0 м) первым элементом, представленным зеленовато-серыми «табачными» песчаниками. В основании этих пластов песчаников отмечены крупные флишевые иероглифы, главным образом слепки борозд размыва. Часто встречаются мелкие обломки раковин неопределимых пеллеципод и фрагменты скелетов криноидей.

Мощность толщи II довольно постоянна и составляет 220–300 м.

Толща III — тонкоритмичный флиш ($J_{1-2}tv_2^{III}$) — образована ритмами толщиной преимущественно 7–25 см, в которых первый элемент ритма обычно представлен только плотными тонкослоистыми алевролитами, а второй — аргиллитами, иногда с конкрециями сидерита, толщина ритмов 5–20 см. На нижней поверхности первого элемента ритма иногда отмечаются флишевые иероглифы, чаще всего мелкие биоиглифы.

Мощность толщи III оценивается не менее чем в 300 м.

Толща IV — разноритмичный флиш ($J_{1-2}tv_2^{IV}$) — нормальный трехкомпонентный (песчаник—алевролит—аргиллит) флиш с изменчивой мощностью ритмов. В овр. Яман между горами Шелудивая и Длинная толща образована ритмами мощностью от 10–12 до 30–40 см с некоторым преобладанием последних.

Возраст толщи IV подтвержден находками моллюсков — плинсбахских аммонитов *Aegoceras sp.* и *Liparoceras sp.*, плинсбахских белемнитов *Nannobelus pavloviensis Men. et Erl.* (возможно), раннетаврических

аммонитов *Dactylioceras sp.* и белемнитов *Dactyloteuthis cf. attenuata Ernst*, поэтому толща отнесена к верхам верхнего плинсбаха—нижнему тоару. Мощность толщи IV ~750 м.

Толща V — аргиллитовый субфлиш ($J_{1-2}tv_2^V$) — представлена чередованием пачек аргиллитов (4–10 м) и флишевых пачек (3,5–11,5 м). Пачки аргиллитов однородны и содержат только прослойки конкреций сидерита (или единичные конкреции). Основную часть ритмов во флишевых пачках составляют аргиллиты, мощность которых может достигать 40–50 см.

Во флишевых пачках в основании ритмов часто присутствуют бурые железненные известковистые гравелиты со следами выщелоченного раковинного детрита. В аргиллитах из верхних частей ритмов отмечены прослойки конкреционного известняка. В аргиллитовых пачках и уникально мощных (до 2 м) ритмах во флишевых пачках достаточно часто встречаются *паститы* — линзовидные тела несортированных глинистых алевролитов, переполненных мелкими обломками аргиллитов, песчаников и конкреций.

Возраст толщи — поздний тоар—ранний аален по позднеаварским белемнитам *Mesoteuthis quenstedti* Opp.

Видимая мощность толщи V в ядре Прохладненской синклинали оценивается в 250 м.

Образцы взяты из всех пяти толщ верхнетаврической свиты. Из толщи I для геохимических исследований отобраны 2 образца песчаников, из толщи II — образец аргиллита, из толщи III — 2 образца песчаников, из толщи IV — 3 образца песчаников и образец аргиллита, из толщи V — 7 образцов аргиллитов и образец песчаников.

Геохимические данные о ниже-среднеюрском интервале разреза позволили рассчитать значения концентрации (%) для 29 элементов и соединений, а также 6 их отношений (модулей), необходимых для уточнения условий седиментации и генезиса цикличности (рис. 3–8). Для этих исследований отобрано 16 образцов из разрезов Горного Крыма и 14 образцов из разрезов Большого Кавказа. Описанию этой методики посвящено множество работ [Енгальчев, Панова, 2011; Климат..., 2004; Скляр, 2001]. Иногда полученные нами данные о некоторых показателях в контексте их палеогеографической интерпретации противоречивы, что требует дополнительного изучения, этому будет посвящена следующая статья.

Кратко и выборочно охарактеризуем концентрацию элементов, соединений и их отношения.

К показателям изменения глубины бассейна относятся отношение Fe/Mn, ТМ, а также элементы Zn, Pb, Al, Mn, Cu, Sr, Ba, показывающие смещение фаций (рис. 3–5).

Отношение Fe/Mn. Уменьшение этого отношения соответствует увеличению глубины, а также переходу от шельфовых фаций к пелагическим. Тенденция к уменьшению этого отношения с глубиной осадконакопления обусловлена поглощением осадочными отложениями марганца из морских вод, которое

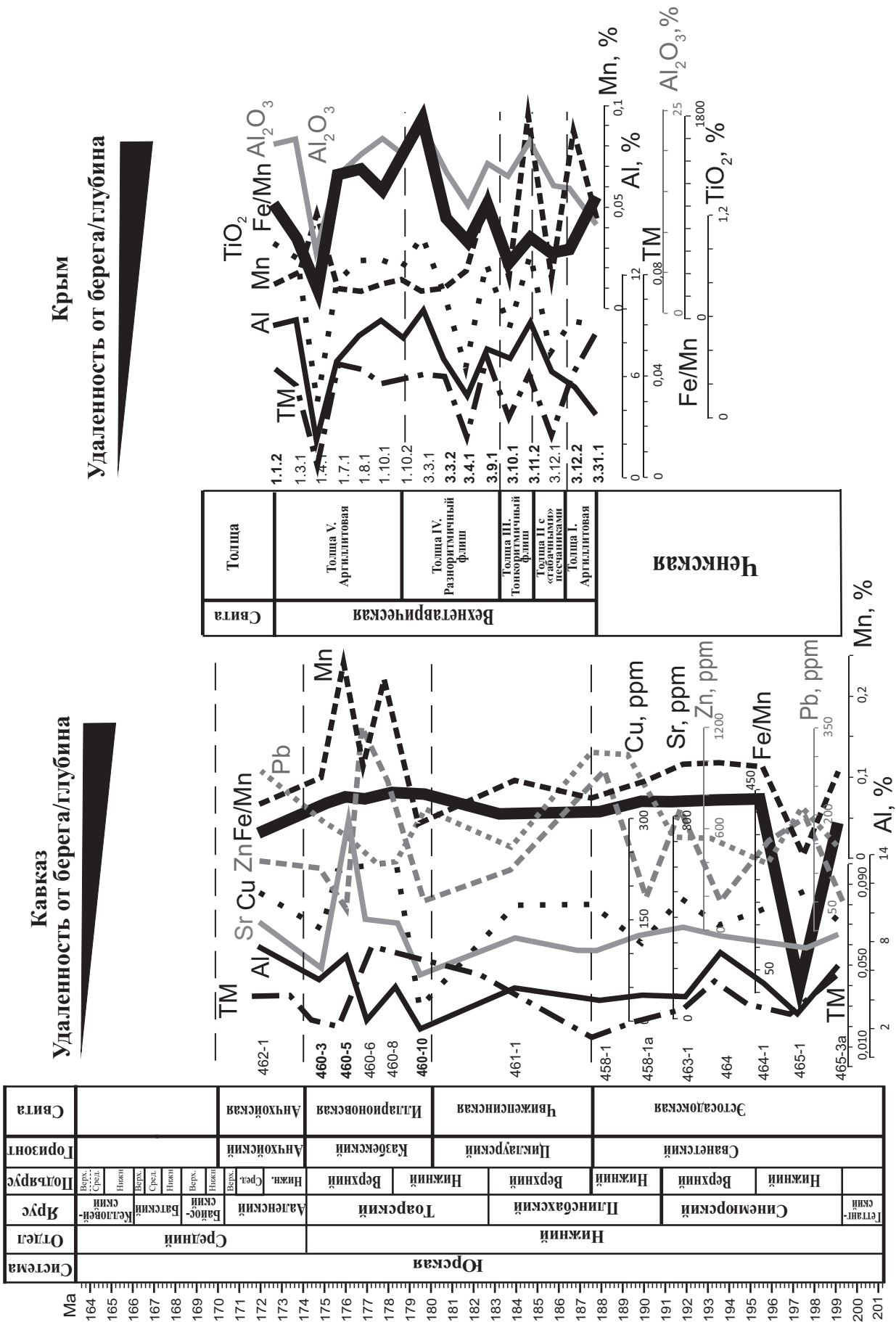


Рис. 3. Геохимическая характеристика вариаций глубины в Крымско-Кавказском тропе

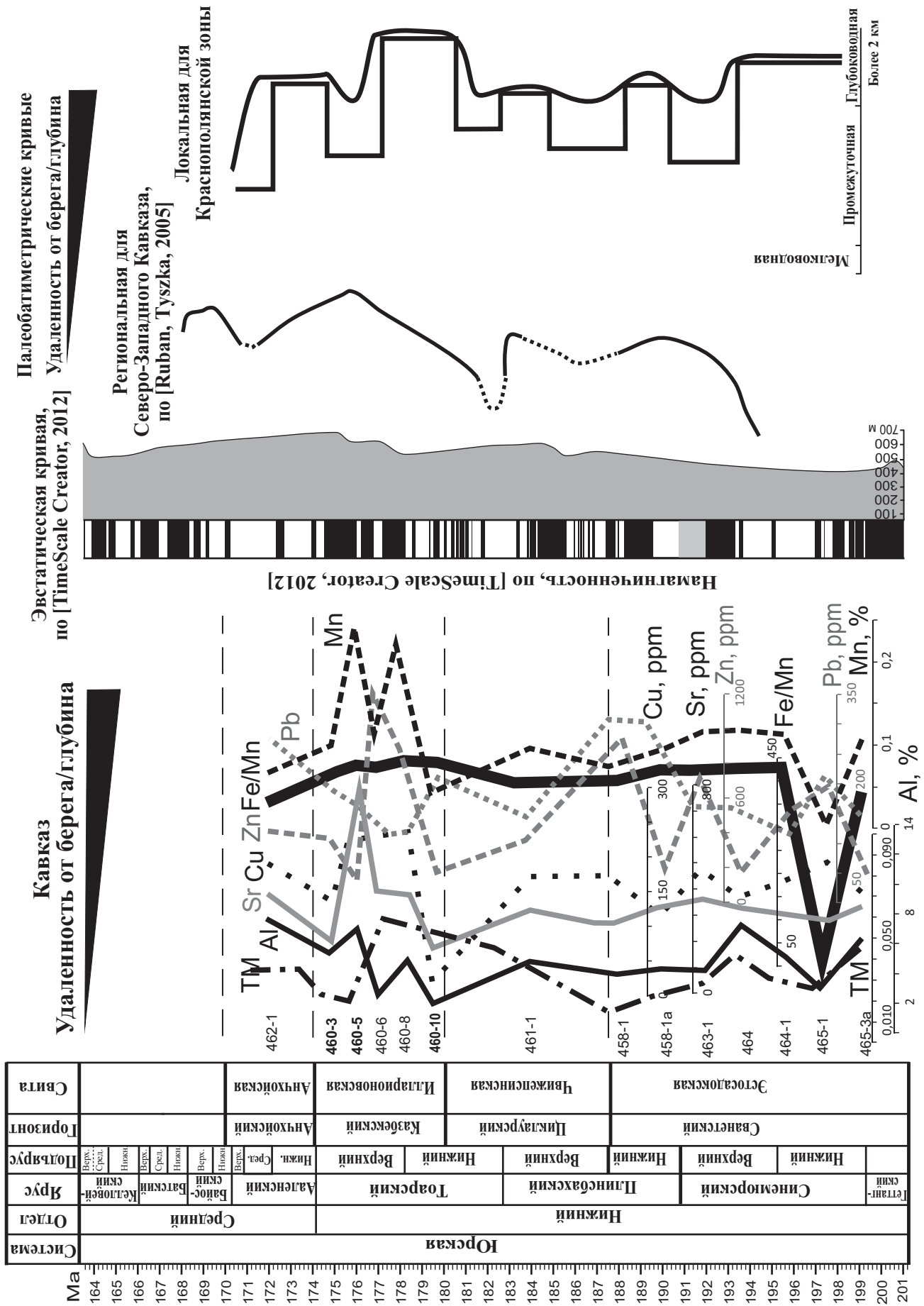


Рис. 4. Геохимическая характеристика вариаций глубины в крымской части трога

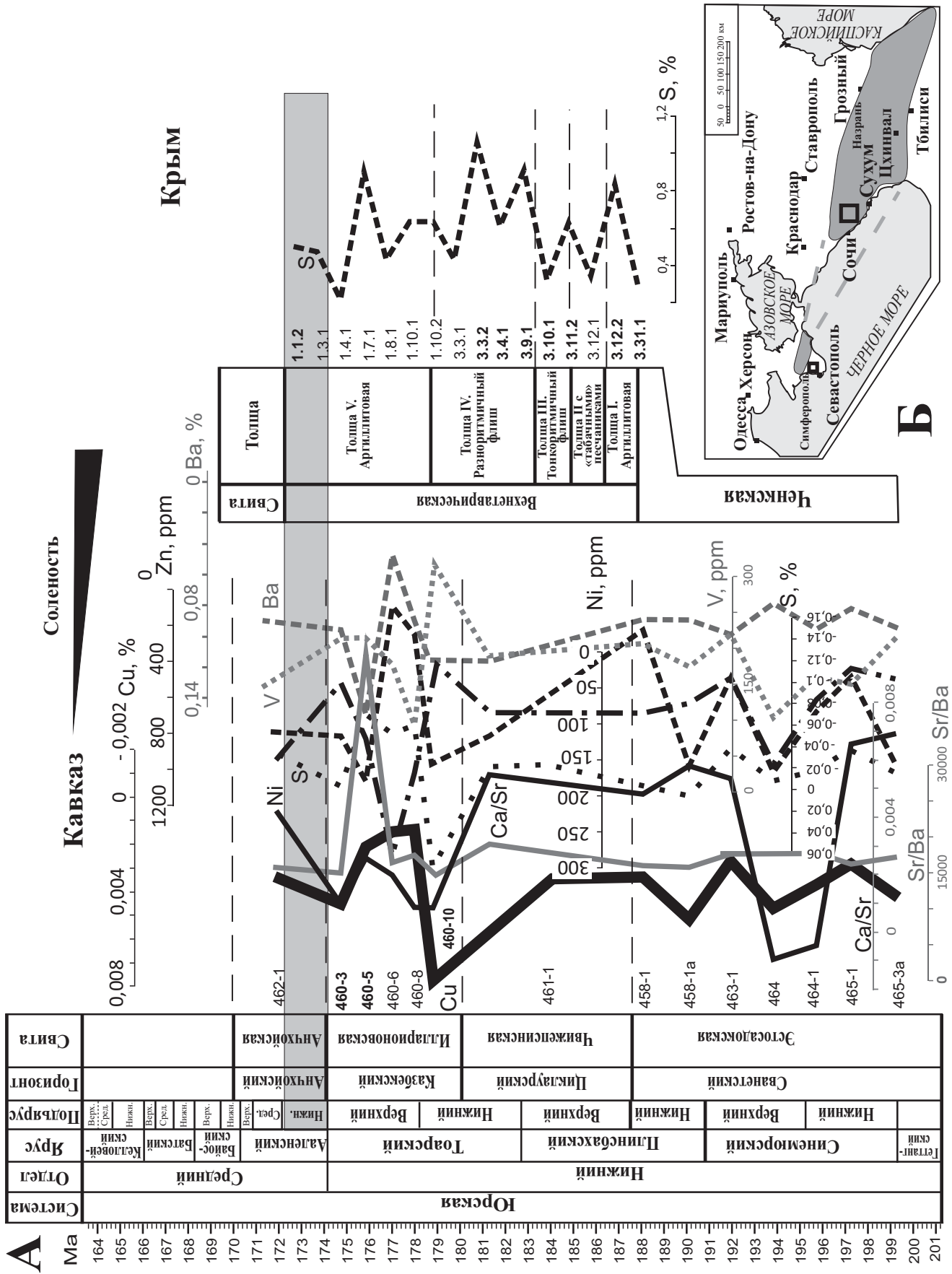


Рис. 6. Геохимическая характеристика вариаций солёности в Крымско-Кавказском тропе (А) и карта возможного распространения вод с дефицитом кислорода в раннем аалене (Б), по [Ruban, 2012] с дополнениями

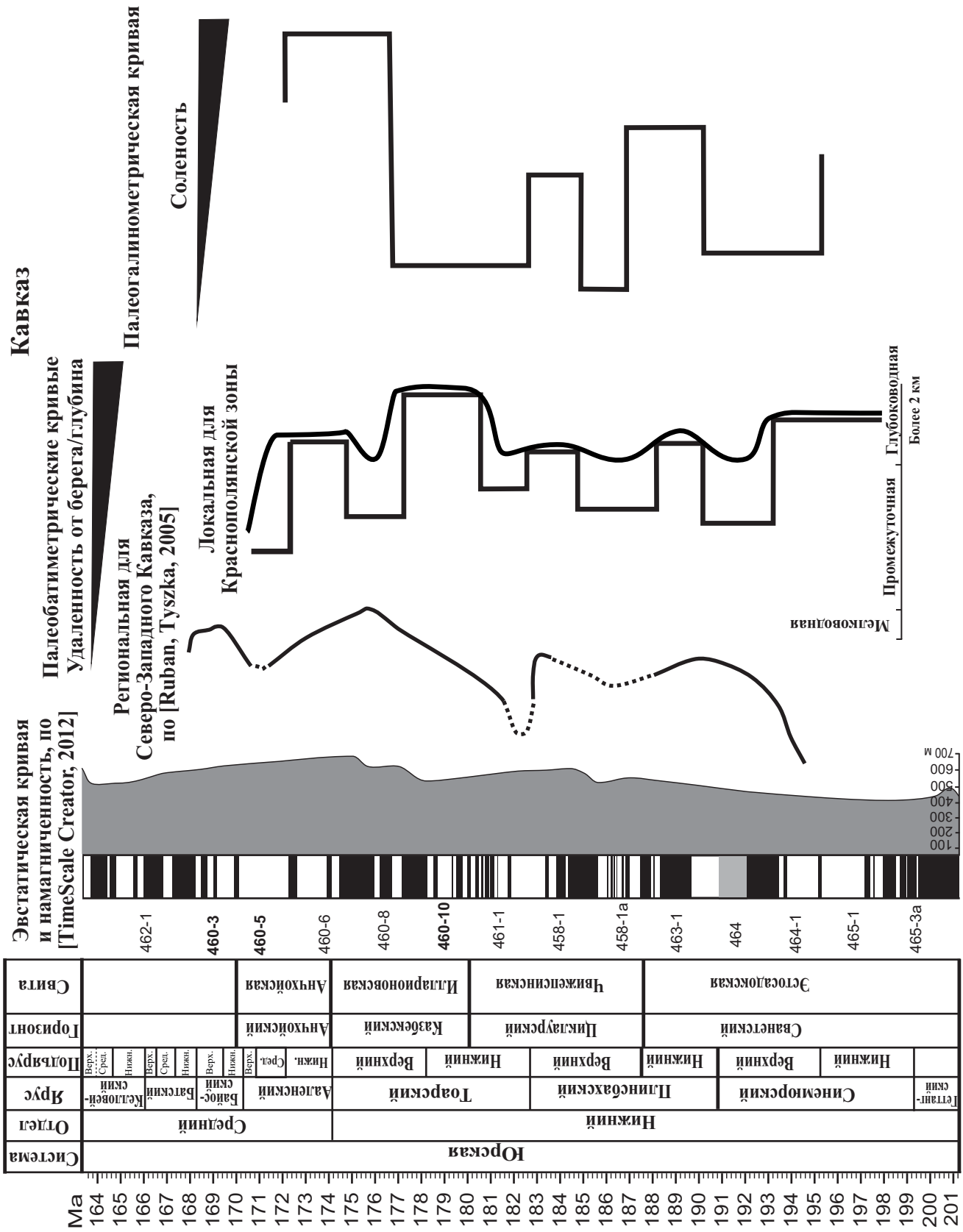


Рис. 7. Корреляция вариаций глубины и солёности в кавказской части трога по геохимическим данным

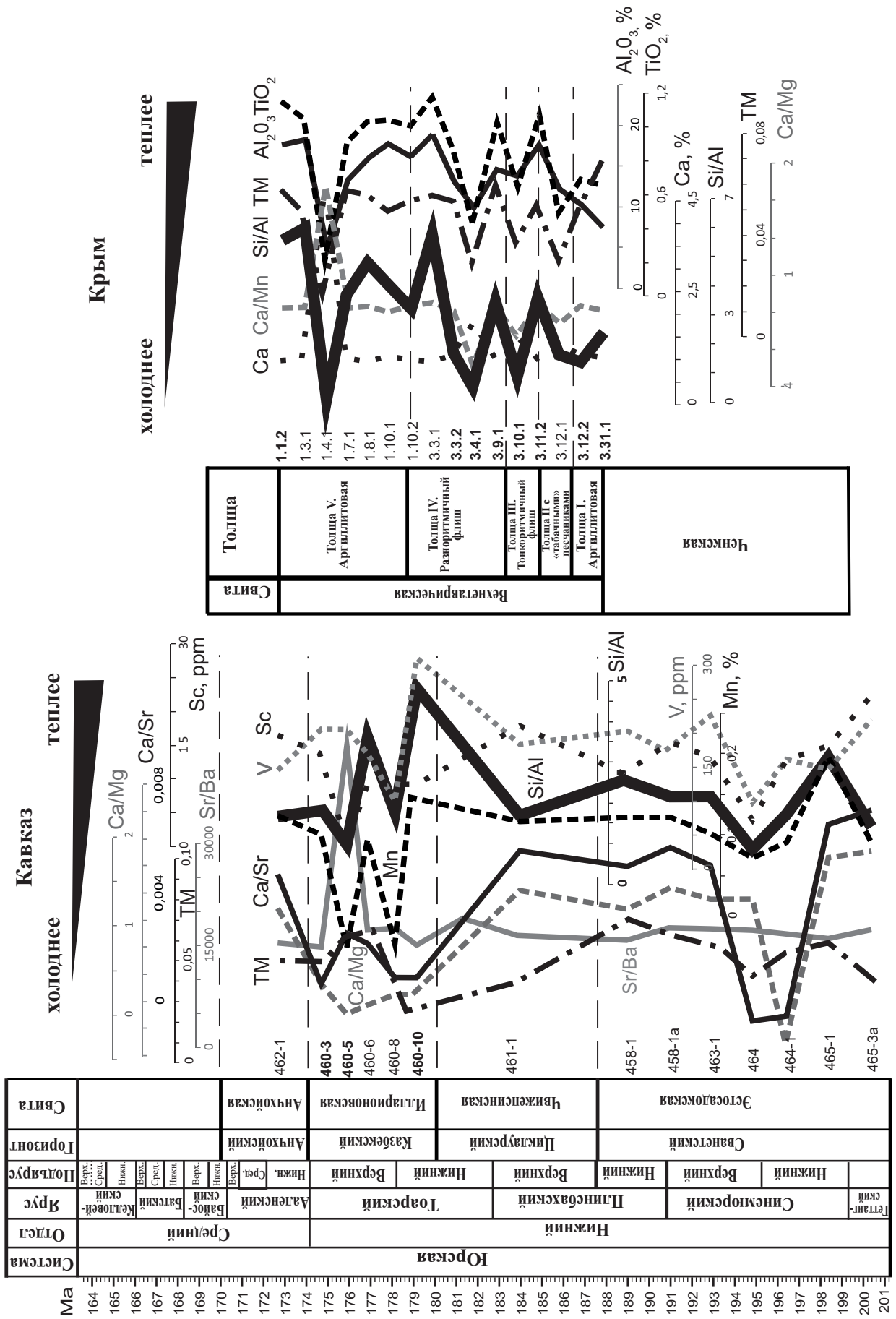


Рис. 8. Корреляция вариаций температуры в кавказской и крымской частях трога по геохимическим данным

сильнее проявляется в глубоководных условиях. По значению отношения Fe/Mn осадочные породы можно разделить на глубоководные (<40), мелководные (~80) и мелководно-прибрежные с преимущественно терригенным источником сноса (>160). Отношение Fe/Mn хорошо применимо к глинистым или глиносо-держащим отложениям и в меньшей степени к карбонатным [Скляров, 2001].

Значение отношения Fe/Mn варьирует от 38 до 70 (при аномальных значениях до 110, в среднем до 40), что подтверждает глубоководность бассейна.

Кроме того, на глубоководную фацию указывают другие показатели: увеличение содержания Sr свидетельствует об удаленности от источника сноса терригенного материала. Средние значения этого параметра — 230–270 ppm, аномальные — 320–340 ppm.

Титановый модуль (ТМ) — отношение содержания TiO_2 и Al_2O_3 — зависит как от динамической фации седиментации, так и от титанистости петрофонда, поэтому если зафиксировать фациальный фактор, то ТМ служит отличным индикатором петрофонда основного или кислого состава. Различие значений ТМ свидетельствует о разной климатической обстановке. Гумидные, песчано-алевритовые породы характеризуются более высокими значениями ТМ, чем аридные. Такое же соотношение наблюдается и для глинистых пород. Использование этого модуля для восстановления климатических особенностей возможно лишь в условиях постоянства источника сноса. В ряде случаев динамическая сортировка материала и состав петрофонда влияют на величину ТМ гораздо сильнее, чем климатический фактор. Резюмируя, можно сказать, что его величина возрастает при переходе из аридной зоны в гумидную, а в пределах последней — по мере движения от глубоководных зон к прибрежно-морским и континентальным [Енгальчев, Панова, 2011].

Содержание Sr и Ba. Увеличение содержания стронция свидетельствует об удаленности от источника сноса терригенного материала, а повышение концентрации бария, наоборот, — о приближении источника сноса. С ростом глубины бассейна Ba все сильнее растворяется, однако при этом на глубине 4–5 км его концентрация может достигать максимальных значений, так как он вступает в реакцию с окружающей средой и выпадает в осадок.

Содержание Pb и Zn. Увеличение концентрации свинца и цинка вызвано приближением к источнику сноса и/или увеличением солёности бассейна.

Начало тоара характеризуется уменьшением показателей Fe/Mn, Sr, Ba, Al, Mn, что указывает на снижение глубины трога. Однако в конце раннего тоара и начале позднего тоара происходило увеличение этих показателей, а следовательно, углубление бассейна.

Скорее всего, с ослаблением прогибания и уменьшением глубины бассейна происходило его расширение, с чем связано последовательное увеличение зрелости поступавшего в него обломочного материала,

этим, в частности, объясняется циклическое строение верхнетаврической свиты [Панов, 1997]. В эвстатических вариациях в трого ведущую роль играл тектонический фактор.

В итоге на основе полученных данных построены палеобатиметрические кривые для Кавказа и Крыма, отражающие колебания уровня моря в раннеюрско-ааленское время в глубоководном трого (рис. 3–5). Глобальная эвстатическая кривая и кривая намагниченности взяты из данных программы «TimeScale Creator-2012».

Сравнивая полученные нами результаты с данными предшественников, отметим, что локальная палеобатиметрическая кривая, построенная для Краснополянской зоны, в целом не противоречит региональной палеобатиметрической кривой для Северо-Западного Кавказа [Ruban, Tyszka, 2005]. Также наблюдается следующая закономерность: при обмелении трога увеличивается солёность его вод.

Для анализа изменения солёности использованы значения отношений Sr/Ba и Ca/Sr. При нарушении физико-химического равновесия солевого раствора, обусловленного его захоронением, одни минералы в этой системе растворяются (например, кальцит), другие формируются (доломит), что ведет к глубокой трансформации состава рассолов. При этом в растворе происходит избирательное концентрирование химических элементов, среди которых Ca, Sr, Ba. Это также хорошо видно в суперсолёных растворах, где содержание Ca стремится практически к нулю, так как при увеличении солёности он замещается на Mg, сохранившийся до этого в осадке. Следовательно, увеличение значений Sr/Ba, Ca/Sr свидетельствует о повышении солёности раствора.

Концентрация B, S, Cr, Cu, Ga, Ni и V в морских осадках выше, чем в пресноводных.

Zn и Cu — также показатели солёности раствора, подвижность этих элементов напрямую зависит от солёности. В речных водах содержание Cu практически всегда постоянно, поэтому когда речная вода перемешивается с морской, скорость выпадения Cu в осадок уменьшается с повышением солёности получаемого раствора. Подвижность Zn также уменьшается с повышением солёности.

В итоге на основе полученных данных построены палеобатиметрические кривые для Кавказа, отражающие колебания солёности морских вод в раннеюрско-ааленское время в глубоководном трого (рис. 6, 7). Изменение солёности трога в тоарский век, вероятно, косвенно подтверждает вариации глубины бассейна. На кривой вариации солёности видно, что в раннем тоаре происходило опреснение воды, что коррелирует с общим увеличением глубины бассейна, но в позднем тоаре солёность повышалась, а бассейн становился относительно мелководнее. Из-за недостаточности данных оценка вариаций солёности в Крымской части трога не проведена.

На рис. 6, А видно, что к раннему аалену концентрация серы в разрезах Крыма и Кавказа увели-

чивалась, что, скорее всего, свидетельствует о более широком распространении областей с дефицитом растворенного в воде кислорода, поэтому предлагаем расширить границы этой области на северо-запад, в сторону Крыма (рис. 6, Б).

Для анализа **вариаций значений палеотемпературы** использованы следующие значения концентрации элементов и их отношения: V, Ca/Sr, Tm, Mn, Si/Al. Вариации температуры также можно оценить с помощью отношений Ca/Mg, Sr/Ba, Zn/Nb, (Ce, Nd, La, Ba)/Yb (Y, Zr). Палеотермометрические исследования авторы не проводили, поэтому значения температуры воды взяты из работы [Климат..., 2004], например, температура водных масс в палеобассейнах Крыма, Карпат, Кавказа и Памира составляла 20–22 °С в раннем тоаре и 15–17 °С в позднем тоаре. Более высокие значения палеотемпературы известны для тоарских бассейнов в Европе — 27–28 °С. Общее повышение температуры в палеобассейнах Европы от плинсбаха к тоару завершилось тоарским климатическим оптимумом, когда среднегодовые значения температуры достигали 28,4–32,9 °С в Северной Европе.

Общее похолодание в Кавказском регионе произошло в раннем аалене (14–14,5 °С), чем объясняется отсутствие находок планктонных фораминифер в аалене, за исключением находки «Protoglobigerinids» из переходных слоев тоара и аалена в разрезах Турции [Климат..., 2004]. Отметим, что этот факт можно объяснить регрессией и распространением вод в раннем аалене с дефицитом растворенного кислорода. В позднем аалене температура воды трога приблизилась к таковой в палеобассейнах Западной Европы и достигла 20–22 °С [Климат..., 2004]. При сопоставлении литературных данных с вариациями значений температуры на построенных нами кривых колебания температуры в раннеюрское время (рис. 8–10) выяснилось, что предположительно средняя температура акватории трога в районе Большого Кавказа (рис. 9) колебалась в пределах 14–22 °С, а в Крымской части трога — от 14,0 до 21,5 °С (рис. 10). Форма кривых, построенных по нашим данным (показаны на рис. 10 тонкой линией), в целом повторяет тенденции вариации температуры по литературным данным [Климат..., 2004], но с небольшим смещением во времени.

Для раннетоарского времени показатели V, Ca/Sr, Tm, Mn, Si/Al увеличились, что отвечает общему повышению температуры. Для позднего тоара значения этих показателей снизились, что интерпретировано нами как общее понижение температуры (рис. 6–8). Аналогичный тренд для указанного периода виден на температурной кривой, приведенной в работе [Климат..., 2004]. Кроме того, рост температуры увеличивает степень химического выветривания, что косвенно может влиять на повышение скорости осадконакопления в троге. Изменения палеотемпературы косвенно связаны с вариациями солёности палеобассейна, так как при относительном потеплении солёность увеличивается.

Рост концентрации Ca, Sr, Mg может указывать на аридный тип климата, а увеличение содержания Sc, Ni, Zn, Y, W, U, Cu, V и редкоземельных элементов (РЗЭ) — на гумидные условия седиментации.

Потепление климата [Климат..., 2004] и сокращение стока («аридизация») в раннем тоаре в кавказской части трога хорошо видны на кривых распределения содержания Cu, Sc и V (рис. 3 и 8), которые демонстрируют увеличение их концентрации для этого временного интервала. Уменьшение значений концентрации этих элементов в позднетоарское время на фоне похолодания можно объяснить сокращением объема поступающего с суши материала (стока).

Результаты геохимических исследований и их обсуждение. Изменение климата напрямую связано с интенсивностью химического выветривания. Образование песчаников и глин тесно связано с климатом, но, к сожалению, образцы, взятые на Большом Кавказе, практически все глинистые (мало песчанистых разностей), что не дает полной картины изменения климата. В области Горного Крыма нами отобраны песчанистые и глинистые породы практически в равных отношениях. По форме палеотемпературной кривой видно (рис. 9 и 10), что уменьшение значений температуры в позднем тоаре—раннем аалене соответствует формированию аргиллито-алевролитовой формации. Это изменение может свидетельствовать о более влажном климате в этот период времени. В $J_1P_2 - J_2t_1$ происходило увеличение значений температуры, а следовательно, накапливалась песчанистая формация (рис. 9, 10).

Нами солёность использована как дополнительный показатель условий осадконакопления. Изменение солёности часто связано с опреснением воды из выпадающих в водоем источников. В позднем тоаре имело место значительное опреснение, почти синхронное с уменьшением глубины трога и понижением температуры вод, что могло быть вызвано увеличением объема речного стока в условиях влажного климата и отвечает времени накопления преимущественно глинистой формации.

Климат — важный фактор осадконакопления и постседиментационных преобразований. Климат в ранней юре был теплый и влажный [Климат..., 2004], климатическая вариация температуры вод в троге составляла 5–7 °С.

Выводы. 1. Впервые выполнен геохимический анализ нижнеюрско-ааленских отложений Крымско-Кавказского трога.

2. На основе полученных геохимических данных палеогеографически охарактеризовано раннеюрско-ааленское время.

3. Показаны тенденции вариации глубины трога, вызванные прежде всего тектоническим фактором, а также выявлены флуктуации солёности и температуры вод в троговом бассейне.

4. Можно выделить следующие этапы изменения глубины бассейна: в течение синемюра — постепенное увеличение глубины трога с максимумом на си-

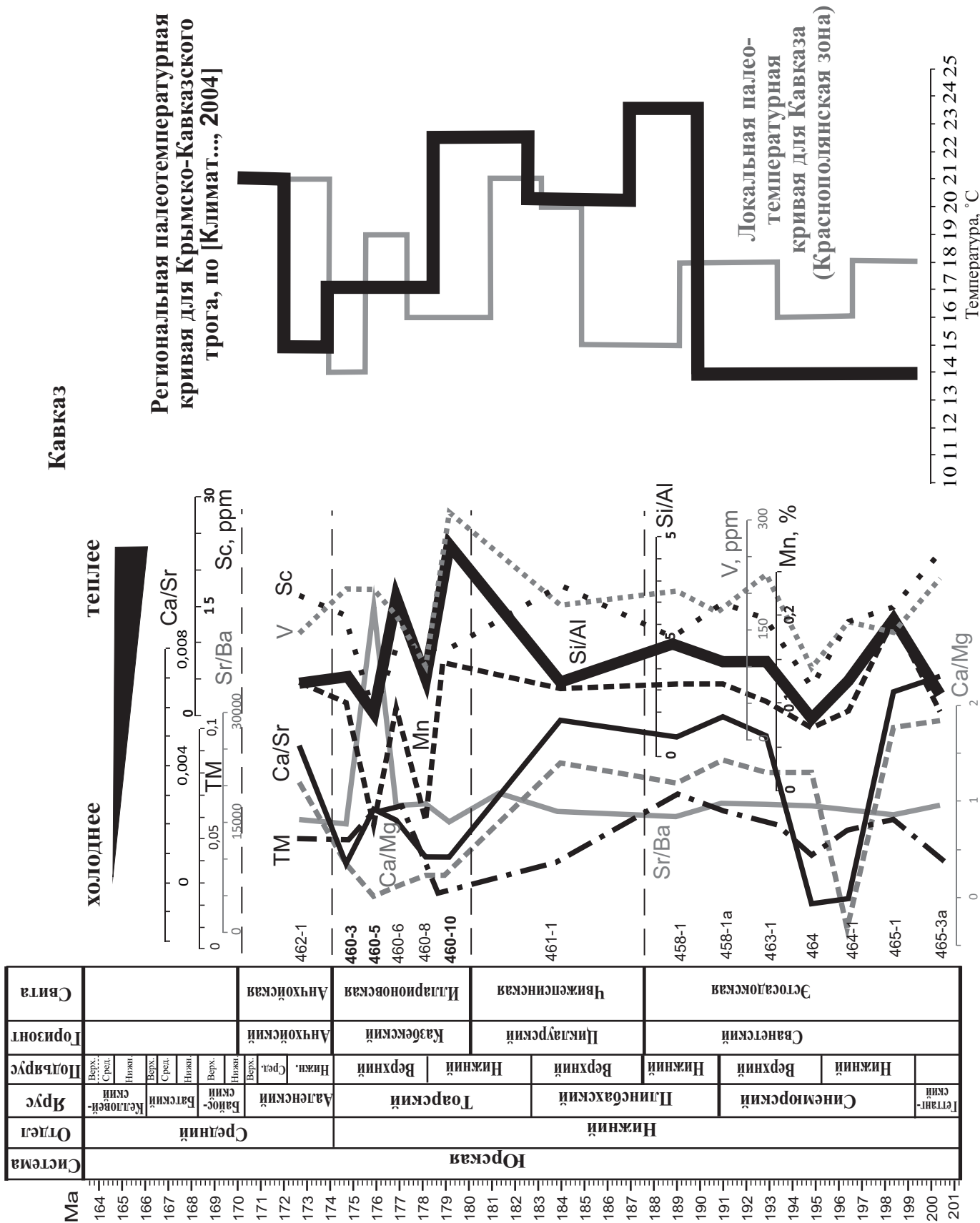


Рис. 9. Вариации температуры морских вод в кавказской части трога по геохимическим данным

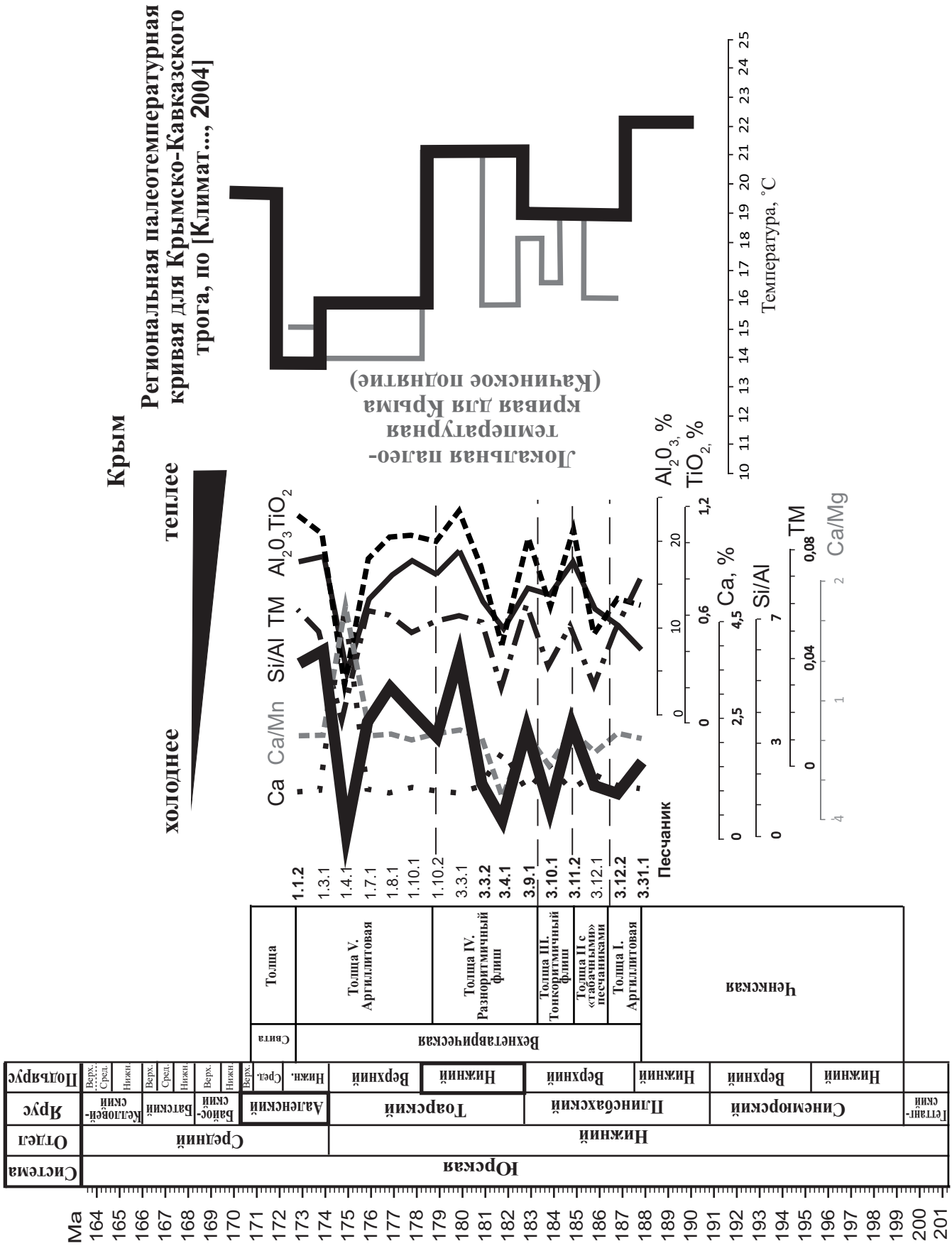


Рис. 10. Вариации температуры морских вод в крымской части трога по геохимическим данным

немюрско-плинсбахской границе, регрессия в J_{1p_1} и последующая трансгрессия в J_{1p_2} ; резкое падение эвстатического уровня в начале тоара, общее прогибание коры и углубление трога до конца тоара, а затем с конца тоара по аален включительно — регрессия.

В позднем тоаре имело место значительное опреснение вод, почти синхронное с уменьшением глубины трога и понижением температуры. В раннем аалене на фоне региональной регрессии возникли благопри-

ятные условия для нарушения гидроциркуляции и формирования водных масс с дефицитом растворенного в воде кислорода. Климатические вариации температуры вод в троге составляли $\sim 5-7^\circ\text{C}$, причем в Крымской части воды были теплее.

5. Анализ ритмограмм и характера флишевых толщ показал, что в интервале $J_{1s}-J_{2a}$ существовал глубоководный троговый бассейн с несколькими источниками сноса осадочного материала.

СПИСОК ЛИТЕРАТУРЫ

- Афанасенков А.П., Никишин А.М., Обухов А.Н.* Геологическое строение и углеводородный потенциал Восточно-Черноморского региона. М.: Научный мир, 2007. 172 с.
- Барaboшкин Е.Ю., Дегтярев К.Е.* Псефиты таврической серии (район среднего течения р. Бодрак) // Вестн. Моск. ун-та. Сер. 4. Геология. 1988. № 4. С. 79–82.
- Габдуллин Р.Р., Иванов А.В.* Прикладная стратиграфия в инженерной и экологической геологии. М.: Изд-во Моск. ун-та, 2013.
- Геология СССР. Т. 9. Северный Кавказ. Ч. 1. Геологическое описание. М.: Недра, 1968. 760 с.
- Геология СССР. Т. 8. Крым. Ч. 1. Геологическое описание. М.: Недра, 1969. 576 с.
- Густомесов В.А.* Заметки об юрских и нижнемеловых белемнитах Бахчисарайского района Крыма // Бюлл. МОИП. Отд. геол. 1967. Т. 42, вып. 3. С. 120–134.
- Енгальчев С.Ю., Панова Е.Г.* Геохимия и генезис песчаников восточной части главного девонского поля на северо-западе Русской плиты // Литосфера. 2011. № 5. С. 16–29.
- Королев В.А.* Первая находка ископаемого растения в отложениях таврической серии (юго-западная часть Горного Крыма) // Вестн. Моск. ун-та. Сер. 4. Геология. 1983. № 2. С. 81–82.
- Логвиненко Н.В., Карпова Г.В., Шапошников Д.П.* Литология и генезис таврической формации Крыма. Харьков: Изд-во ХГУ, 1961. 400 с.
- Климат в эпохи крупных биосферных перестроек / Гл. редакторы М.А. Семихатов, Н.М. Чумаков. М.: Наука, 2004. 299 с. (Тр. ГИН РАН; Вып. 550).
- Милеев В.С., Вишневецкий Д.Е., Фролов Д.К.* Триасовая и юрская системы // Геологическое строение Качинского поднятия Горного Крыма. Стратиграфия мезозоя. М.: Изд-во Моск. ун-та, 1989.
- Муратов М.В.* О стратиграфии триасовых и нижнеюрских отложений Крыма // Изв. вузов. Геология и разведка. 1959. № 11. С. 31–41.
- Никишин А.М., Алексеев А.С., Барaboшкин Е.Ю.* и др. Геологическая история Бахчисарайского района Крыма: учебное пособие по Крымской практике. М.: Изд-во Моск. ун-та, 2006.
- Никишин А.М., Болотов С.Н., Барaboшкин Е.Ю.* и др. Мезозойско-кайнозойская история и геодинамика Крымско-Кавказско-Черноморского региона // Вестн. Моск. ун-та. Сер. 4. Геология. 1997. № 3. С. 6–16.
- Панов Д.И.* К вопросу о геологической истории Крыма в триасовое и юрское время // Вестн. Моск. ун-та. Сер. 4. Геология. 1997. № 3. С. 3–18.
- Панов Д.И.* Проблемы корреляции ниже-среднеюрских отложений Большого Кавказа // Стратиграфия. Геол. коррел. 2003. Т. 11, № 1. С. 64–77.
- Панов Д.И.* Вопросы регионального стратиграфического расчленения юрских отложений Кавказа // Бюлл. МОИП. Отд. геол. 2006. Т. 81, вып. 6. С. 81–90.
- Панов Д.И.* Стратиграфия и структура таврической серии (верхний триас — лейас) качинского поднятия Юго-Западного Крыма // Бюлл. МОИП. Отд. геол. 2009. Т. 84, вып. 5. С. 75–84.
- Панов Д.И., Болотов С.Н., Никишин А.М.* Схема стратиграфического расчленения триасовых и нижнеюрских отложений Горного Крыма // Геодинамика и нефтегазовые системы Черноморско-Каспийского региона: Сб. докл. III Междунар. конф. «Крым-2001». Крым, Гурзуф, 17–21 сентября. Симферополь: Таврия-Плюс, 2001. С. 127–134.
- Панов Д.И., Пруцкий Н.И.* Стратиграфия ниже- и среднеюрских отложений Северо-Западного Кавказа // Бюлл. МОИП. Отд. геол. 1983. Т. 58, вып. 1. С. 94–112.
- Склярков Е.В.* Интерпретация геохимических данных. М.: Интернет Инжиниринг, 2001.
- Славин В.И.* Новые данные о геологическом строении Красной Поляны и прилегающих частей Главного Кавказского хребта // Изв. вузов. Геология и разведка. 1958. № 6. С. 31–45.
- Цейслер В.М., Караулов В.Б., Туров А.В.* и др. О местных стратиграфических подразделениях в восточной части Бахчисарайского района Крыма // Изв. вузов. Геология и разведка. 1999. № 6. С. 8–18.
- Ruban D.A.* Diversity dynamics of Toarcian–Aalenian (Jurassic) ammonites and transgressions/regressions in the Greater Caucasus Basin (Caucasian Sea, northern Neo-Tethys Ocean): An evidence of partial dependence // Palaeogeography, Palaeoclimatology, Palaeoecology. 2012. Vol. 315–316. P. 124–133.
- Ruban D.A., Tyszká J.* Diversity dynamics and mass extinctions of the Early–Middle Jurassic foraminifers: A record from the Northwestern Caucasus // Palaeogeography, Palaeoclimatology, Palaeoecology. 2005. Vol. 222. P. 329–343.

Поступила в редакцию
25.05.2014

УКАЗАТЕЛЬ СТАТЕЙ И МАТЕРИАЛОВ, ОПУБЛИКОВАННЫХ В ЖУРНАЛЕ в 2014 г.

	№	Стр.
Алексеева А.Э., Ершов А.В., Линев Д.Н. Численное моделирование воздымания и процессов эрозии орогена Западного Кавказа в неоген-четвертичное время.	4	27
Али А.А., Прокофьев В.Ю., Кряжев С.Г. Геохимические особенности формирования Ново-Широкинского золото-полиметаллического месторождения (Восточное Забайкалье, Россия).	2	0
Балушкина Н.С., Калмыков Г.А., Белохин В.С., Хамидуллин Р.А., Корост Д.В. Кремнистые коллекторы баженовского горизонта Средне-Назымского месторождения и структура их пустотного пространства	2	0
Барбошкин Е.Ю., Барбошкин Е.Е. Строение и условия образования альбского каменного дна в районе с. Черноречье (Юго-Западный Крым)	6	51
Барановская Е.И. Схематическое районирование территории Прикаспийского артезианского бассейна по формированию химического состава подземных вод верхней гидрогеодинамической зоны	2	0
Брагина Л.Г., Брагин Н.Ю., Копеевич Л.Ф. Радиолярии, планктонные фораминиферы и стратиграфия турона–нижнего коньяка разреза Биюк-Карасу (Крым).	3	4
Булычев А.А., Гиллод Д.А., Дубинин Е.П. Совместный анализ гравитационного и аномального магнитного полей для изучения строения тектоносферы южной части Индийского океана	6	3
Бурикова И.А., Емельянова Т.А., Леликов Е.П. Петрология андезитов центрального поднятия Ямато (Японское море)	3	36
Габдуллин Р.Р., Самарин Е.Н., Иванов А.В., Бадулина Н.В., Афонин М.А. Литолого-геохимическая характеристика условий осадконакопления в Крымско-Кавказском трое в раннеюрско-ааленское время (на примере Качинского поднятия и Краснополянской зоны).	6	34
Габдуллин Р.Р., Самарин Е.Н., Иванов А.В., Храмов А.Е., Короновский А.А., Руннова А.Е., Яшкова И.А., Бадулина Н.В., Игтисамов Д.В. Астрономо-климатические циклы в разрезе верхнемеловых отложений Саратовского Поволжья	5	55
Габдуллин Р.Р., Самарин Е.Н., Фрейман С.И., Яковичина Е.В. Характеристика и условия формирования келловейско-верхнеюрских отложений зоны Ахцу (Краснодарский край)	3	15
Гатовский Ю.А., Жокина М.А. Онтогенез некоторых поздневизейских конодонтов разреза Верхняя Кардаилловка (Южный Урал)	6	76
Гриневский С.О. Влияние рельефа на формирование инфильтрационного питания подземных вод.	1	54
Громалова Н.А., Прокофьев В.Ю., Урусов В.С. Сравнительный анализ включений в александрите Урала, хризоберилле Танзании и некоторых синтетических образцах	1	48
Емельянов Е.М., Лукша В.Л. Глинистые минералы и палеогеография Готландского бассейна (по данным колонки Psd-303590).	4	32
Иванова Н.И. Закономерности распределения стронция в подземных водах и породах юго-восточной части Северодвинского артезианского бассейна.	4	70
К 100-летию со дня рождения Е.М. Сергеева — выдающегося ученого, педагога и организатора инженерной геологии	1	3
Кистанов О.Г. Влияние песчаной насыпи на температурный режим мерзлых грунтов основания	3	66
Конюхов А.И., Агапитов И.Д. Граптолитовые сланцы на окраинах материков в палеозойских океанах Япетус и Палеотетис (Рейкум)	3	27
Копеевич Л.Ф., Хотылев А.О. Стратиграфическое положение меловых вулканитов в Крыму и на Северном Кавказе	6	59
Корбутяк А.Н. Новые данные о геологическом строении газоносного Арало-Кызылкумского вала	4	12
Косевич Н.Н., Романовская М.А. Линеаменты и тектоника Кандалакшского залива Белого моря	4	20
Кузнецов К.М., Лубнина Н.В., Булычев А.А. Численное моделирование формирования термоостаточной намагниченности в интрузиях	3	49
Кулешова М.Л., Данченко Н.Н., Сергеев В.И., Шимко Т.Г., Малашенко З.П. Свойства бентонитов как материалов для создания сорбционных барьеров	5	87
Куликов В.А., Бобачев А.А., Модин И.Н., Паленов А.Ю., Стерлигова И.Д. Исследование неогеновой долины на территории национального парка Угра	3	54
Курасов И.А., Ступакова А.В. Тектоническое строение северной части Западно-Сибирского нефтегазоносного бассейна	4	56

	№	Стр.
Курасов И.А., Ступакова А.В., Коробова Н.И. Условия формирования среднеюрских песчаных резервуаров Тазовского месторождения (Западно-Сибирский нефтегазоносный бассейн)	2	22
Линев Д.Н., Ершов А.В. Двухмерное моделирование накопления кластических клиноформенных комплексов в морских условиях	2	11
Линева М.Д., Линев Д.Н., Ершов А.В. Двухмерное моделирование накопления карбонатных отложений в морских условиях	5	49
Лыгин И.В., Булычев А.А., Гилод Д.А., Фадеев А.А. Результаты гравиметрических исследований на геофизическом полигоне в Калужской области	2	3
Мамонтов Д.А., Орлова О.А. Палинологическая характеристика верхневизейских отложений карьера Мстихино (Калужская область)	1	35
Мухамадиярова Р.В., Смирнова А.С. Определение ртути в природных твердых пробах. Норина Д.А., Ступакова А.В., Кирюхина Т.А. Условия осадконакопления и нефтегазоматеринский потенциал триасовых отложений Баренцевоморского бассейна	1	43
Панина Л.В., Зайцев В.А. Новейшая тектоника Прикаспия	1	6
Пасенко А.М., Лубнина Н.В. Карельский кратон в палеопротерозое: новые палеомагнитные данные	4	17
Пийп В.Б., Ефимова Е.А. Методы однородных функций и моделирования для восстановления геологического разреза в Тибете по годографам преломленных волн	5	3
Плечов П.Ю., Попов Д.В. Характер вулканической активности в Юго-Западном Крыму в позднеальбское время	5	96
Промылова М.Ю., Демина Л.И., Бычков А.Ю., Гушин А.И., Царев В.В. Природа магматизма района мыса Фиолент (Юго-Западный Крым)	6	59
Ростовцева Ю.В., Рыбкина А.И. Циклостратиграфия понтических отложений Восточного Паратетиса (разрез мыса Железный Рог, Тамань)	4	0
Рыбкина А.И., Ростовцева Ю.В. Астрономическая цикличность верхнемэотических отложений Восточного Паратетиса (разрез мыса Железный Рог, Тамань)	5	50
Сначев В.И., Сначев А.В., Романовская М.А. Ключевой габбро-гранитный массив — недостающее звено южно-среднеуральского раннекаменноугольного рифта	5	72
Стафеев А.Н., Суханова Т.В., Латышева И.В., Косорук В.Л., Плечов П.Ю., Ростовцева Ю.И., Смирнова С.Б., Мороко А.А. Ченкская толща песчаников (нижняя юра Горного Крыма): стратиграфия и условия осадконакопления	5	12
Тевелев Ал.В., Кошелева И.А., Хотылев А.О., Тевелев Арк.В., Прудников И.А. Особенности строения и эволюции Айского вулканического рифейского комплекса (Южный Урал)	5	40
Тевелев Арк.В. Надпотоковая эрозия, террасы вскрытия и динамическая интерпретация аллювиальных отложений	1	19
Трофимов В.Т., Жигалин А.Д. Трансформация геофизической экологической функции абиотических сфер Земли под влиянием техногенеза и ее последствия	2	24
Трофимов В.Т., Королев В.А. Новые, ноосферные представления о геологической среде	3	44
Трофимов В.Т., Харьковина М.А. О необходимости и особенностях изучения современных природных и техногенных геологических и гидрометеорологических процессов при инженерно-геологических изысканиях	1	61
Хасанов Р.Р., Исламов А.Ф., Богомол А.Х. Редкоземельная минерализация в раннекарбонных углях Волго-Уральского региона	4	61
Хлебникова О.А., Никишин А.М., Митюков А.В., Рубцова Е.В., Фокин П.А., Копаевич Л.Ф., Запорожец Н.И. Состав песчаников турбидитовых олигоценых отложений Туапсинского прогиба	6	64
Хорошилова М.А., Франке Д., Кириллова Т., Мули Б., Никишин А.М. Датировка и корреляция опорных сейсмических горизонтов в Лаптевоморском бассейне	5	23
Цеховский Ю.Г., Япаскерт О.В., Стукалова И.Е. Седиментогенез в мезозойско-кайнозойских континентальных рифтах Центральной Азии	5	3
Шишов Е.П., Богомол А.Х. Многоэлементная металлоносность Корфского и Эчваемского буроугольных месторождений (Камчатка)	6	78
Япаскерт О.В. Новое о типизации постседиментационных преобразований терригенных отложений континентов и их окраин (с учетом влияния геодинамических факторов на литогенез)	4	70
<i>Краткие сообщения</i>		
Краковский В.В. Оценка геоэкологической обстановки Красногорского района (Московская область) с помощью линеamentного анализа	2	42
Кузин С.В. Инженерно-геологические особенности грунтовой толщи в приокеаническом районе провинции Боке (Гвинейская Республика)	2	50
Сауткин Р.С. Структура пустотного пространства рифейских доломитов Камовского свода (Восточная Сибирь)	4	56
Фролова Н.С., Спиридонов А.В., Перес Х. Гуал, Перепечина О.В. Подводно-оползневая складчатость в таврической серии (Горный Крым)	6	80
	6	82

	№	Стр.
Ю р ч е н к о А.Ю. Генезис кальцита в карбонатных породах осадочных бассейнов по данным изотопного состава углерода и кислорода	5	107
<i>Хроника</i>		
Сведения о защитах диссертаций в 2013 г. на диссертационных советах геологического факультета МГУ	2	62
<i>Юбилеи</i>		
Клара Ефимовна Питьева (к 90-летию со дня рождения)	6	86
<i>Некролог</i>		
Алексей Александрович Маракушев (1925–2014)	3	71
<i>Рецензия</i>		
Геологическое пространство, эволюция и руды	3	73

ПРАВИЛА ПОДГОТОВКИ СТАТЕЙ К ПУБЛИКАЦИИ В ЖУРНАЛЕ “ВЕСТНИК МОСКОВСКОГО УНИВЕРСИТЕТА. Серия 4. ГЕОЛОГИЯ”

Для публикации в журнале принимаются статьи со- трудников, аспирантов и студентов МГУ (в том числе в соавторстве с представителями других организаций). Текст сопровождается выпиской из протокола заседа- ния кафедры, сведениями обо всех авторах: фамилия, имя и отчество (полностью), кафедра, должность, уче- ное звание, ученая степень, телефон домашний и рабо- чий, мобильный, *e-mail* (обязательно). Статьи принима- ют на геологическом факультете МГУ, комн. 515а.

Требования к оформлению статьи и краткого сообщения

1. Суммарный объем статьи (включая рисунки и список литературы) не должен превышать 24 страницы, объем краткого сообщения суммарно составляет 6 стра- ниц. Рекомендуются стандартизировать структуру статьи, используя подзаголовки, например: **введение, теорети- ческий анализ, методика, экспериментальная часть, ре- зультаты и их обсуждение, заключение (выводы)** и пр.

2. К статье на отдельной странице прилагаются аннотация (6—8 строк) и ключевые слова (6—8) на рус- ском языке, а также аннотация и ключевые слова на английском языке. На отдельной странице необходимо приложить перевод фамилий, инициалов и названия статьи на английском языке.

3. Перед заголовком работы необходимо проставить УДК.

4. Текст должен быть подготовлен в редакторе Word с использованием шрифта Times New Roman 12. Имя файла может содержать до 8 символов и иметь расшире- ния .doc или .txt. Текст должен быть распечатан через 2 интервала, поля со всех сторон составляют по 2,5 см. Текст представляют на отдельном носителе (компакт- диске) и в 2 экз. распечатки. Страницы следует прону- меровать.

5. Рисунки, фотографии, таблицы, подрисуночные подписи прилагаются отдельно в 2 экз. в конце статьи. Каждая таблица должна быть напечатана на отдельной странице тем же шрифтом, через 2 интервала, иметь те- матический заголовок и не дублировать текст. Таблицы нумеруются арабскими цифрами по порядку их упоми- нания в тексте. Все графы в таблицах должны иметь за- головки и быть разделены вертикальными линиями. Сокращения слов в таблицах не допускаются. Материал по строкам должен быть разделен горизонтальными ли- ниями.

6. Формулы, математические и химические знаки должны иметь четкое написание. Трудноразличимые (латинские и греческие) буквы и знаки нужно пояснять карандашом на полях.

7. Размерность всех физических величин должна со- ответствовать Международной системе единиц (СИ).

8. Список литературы должен содержать в алфавит- ном порядке все цитируемые и упоминаемые в тексте работы (не более 20), иностранная литература помеща- ется после отечественной тоже по алфавиту. При ссылке на изобретение необходимо указать год, номер и стра- ницу “Бюллетеня изобретений”. Ссылки на неопубли- кованные работы не допускаются (возможны ссылки на устное сообщение и автореферат кандидатской или док- торской диссертации). Библиографическое описание дается в следующем порядке: фамилии и инициалы ав- торов, название статьи, полное название работы, место издания, издательство, год издания (для непериодиче- ских изданий), для периодических — фамилии и ини- циалы авторов, название статьи, название журнала, год выпуска, том, номер страницы. Ссылка на литератур- ный источник в тексте приводится так: “В работе [Ива- нов и др., 1999] указано, что...”.

9. Никакие сокращения слов, имен, названий, как правило, не допускаются. Разрешаются лишь общепри- нятые сокращения названий мер, физических, химиче- ских и математических величин и терминов и т.д. Все аббревиатуры, относящиеся к понятиям, методам ана- литическим и обработки данных, а также к приборам, при первом употреблении в тексте должны быть рас- шифрованы.

10. Каждый рисунок должен быть выполнен на бе- лой бумаге в виде компьютерной распечатки на лазер- ном принтере. Для растровых (тоновых) рисунков ис- пользовать формат TIFF с разрешением 600 dpi; векторные рисунки должны предоставляться в формате программы, в которой они сделаны; для фотографий использовать формат TIFF с разрешением не менее 300 dpi. Рисунки и фотографии должны быть черно-бе- лыми, четко выполнены и представлены в 2 экз. Ком- пьютерный вариант должен иметь расширения .tiff или .cdr (Corel Draw) и предоставляться на отдельном носи- теле (компакт-диске). На обороте всех иллюстраций указывают их номер, фамилию автора и название ста- тьи. **Обращаем Ваше внимание на то, что текст и рисунки предоставляются на отдельных дисках.**

11. Подрисуночные подписи прилагаются на отдель- ной странице и оформляются согласно требованиям, изложенным в п. 4.

12. Статьи, не отвечающие перечисленным требова- ниям, не принимаются.

13. Дополнения в корректуру не вносятся.

14. Редакция журнала оставляет за собой право про- изводить сокращения и редакционные изменения текста статей.

Плата за публикацию не взимается.

*Благодарим Вас за соблюдение наших правил
и рекомендаций!*